Том 99

1999

Nº3

МЕХАНИКА

УДК 539.3

С. А. Арутюнян, академик НАН Армении М. А. Задоян Зона пластичности в конической трубе

(Представлено 6/XI 1998)

У многих металлических материалов, таких, как углеродные стали и их сплавы, медь и др., по диаграмме растяжения после зоны текучести наступает зона упрочнения, когда материал проявляет новые способности заметно повышать сопротивляемость при дальнейшем пластическом деформировании до разрушения. Тем самым возникает задача определения напряженного состояния, а также критических значений внешних сил, соответствующих временному сопротивлению данного материала (1.2).

Полагаем, что материал трубы после площадки текучести упрочняется по линейному закону, причем по схематизированной диаграмме одноосного растяжения, показанной на рис.1. Здесь σ , — предел текучести, σ . — напряжение временного сопротивления, G и H — модули упругости и упрочнения. Эти параметры определяются экспериментально по одноосному растяжению или при кручении тонкостенных цилиндрических труб.

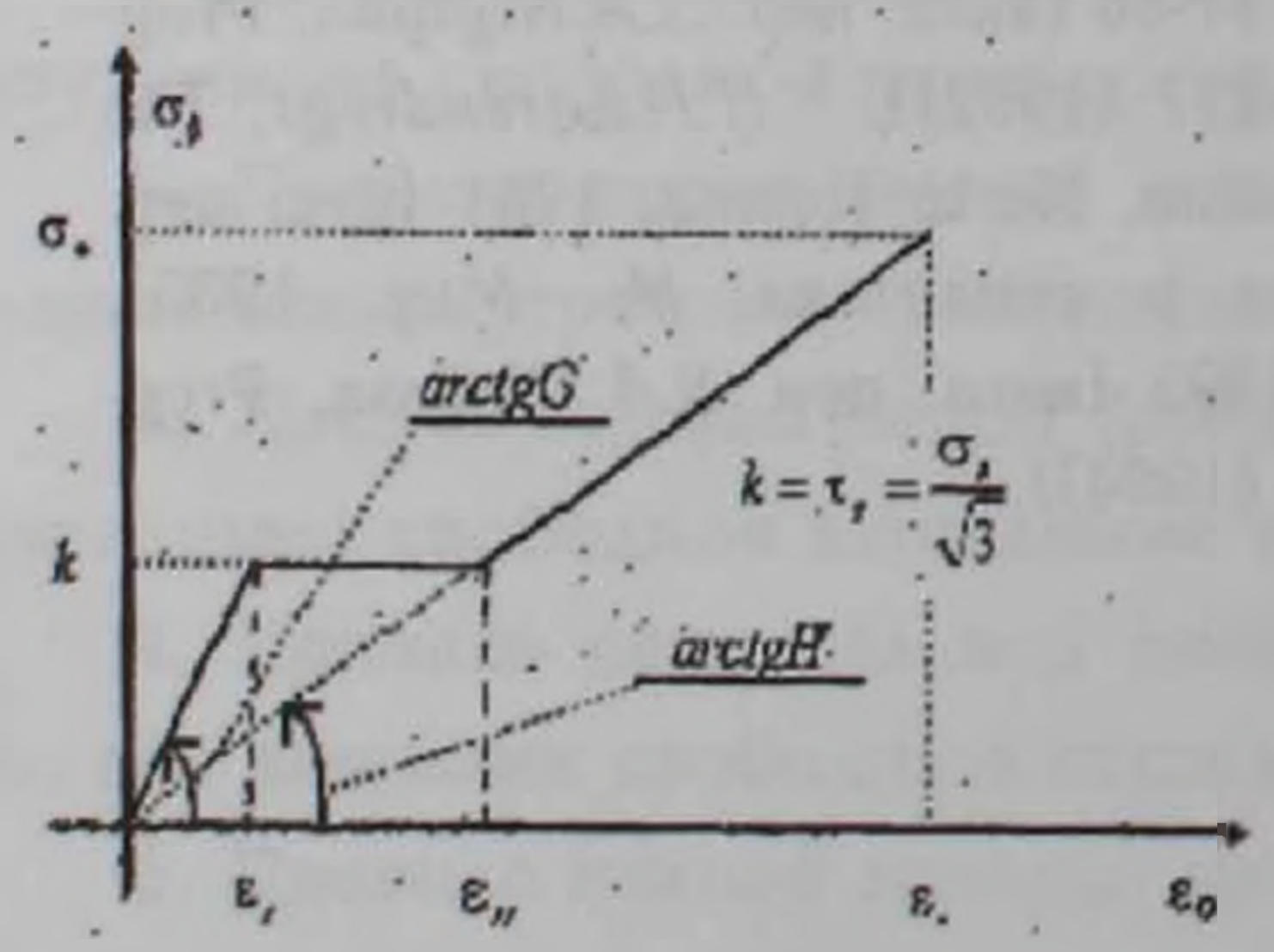


Рис.1.

Рис.2.

Исследуется напряженное состояние длинной толстостенной конической трубы из несжимаемого материала, характеризующегося указанной диаграм-

мой. Принимаем, что труба находится под совместным воздействием нормальных и кольцевых касательных, равномерно распределенных на внутренней $\theta = \alpha$ и внешней $\theta = \beta$ конических поверхностях сил (рис.2)

$$\sigma_{\theta} = -p_i$$
, $\tau_{\theta \varphi} = q_i$ при $\theta = \alpha; \beta$, (1)

где индексы i=1,2 относятся, соответственно, к внутренней и внешней ловерхностям (3,4).

Полагаем, что уровень указанных внешних сил таков, что труба находится в трехзонном напряженном состоянии, причем вокруг внутренней конической поверхности материал находится в стадии упрочнения, вокруг внешней конической поверхности — в упругом состоянии, а между этими слоями — в состоянии текучести.

Исходя из соображений осесимметричности деформирования, полагаем, что граничные поверхности между зонами упрочнения и текучести $\theta = v$ и зонами текучести и упругости $\theta = \gamma$, положения которых следует определить в ходе решения задачи, также являются коническими.

Зависимость между интенсивностями напряжений и деформаций принимается в форме

$$\begin{split} \sigma_0 &= f\left(\varepsilon_0\right)\varepsilon_0,\\ \sigma_0 &= \frac{1}{\sqrt{6}}\sqrt{(\sigma_r - \sigma_\theta)^2 + (\sigma_\theta - \sigma_\varphi)^2 + (\sigma_\varphi - \sigma_r)^2 + 6(\tau_{r\theta}^2 + \tau_{\theta\varphi}^2 + \tau_{r\varphi}^2)},\\ \varepsilon_0 &= \sqrt{\frac{2}{3}}\sqrt{(\varepsilon_r - \varepsilon_\theta)^2 + (\varepsilon_\theta - \varepsilon_\varphi)^2 + (\varepsilon_\varphi - \varepsilon_r)^2 + 6(\gamma_{r\theta}^2 + \gamma_{\theta\varphi}^2 + \gamma_{r\varphi}^2)}. \end{split}$$

В области упругости имеем f = G, $0 \le \varepsilon_0 \le \varepsilon_s$, в области текучести $f = -\sigma$, ε_0 , $\varepsilon_s \le \varepsilon_0 \le \varepsilon_s$, в области упрочнения f = H, $\varepsilon_s \le \varepsilon_0 \le \varepsilon_s$, параметры, характеризующие деформативные свойства материала. Зависимости между компонентами деформаций и напряжений при условии несжимаемости материала

$$\varepsilon_r + \varepsilon_\theta + \varepsilon_\varphi = 0 \tag{2}$$

принимаем в форме

$$\sigma_{ii} - \sigma \delta_{ii} = 2f(\varepsilon_0)\varepsilon_{ii}, \tag{3}$$

где о среднее напряжение.

Перемещения, удовлетворяющие условию несжимаемости (2), представим в виде

$$v_i = \frac{A_i r}{\sin \theta}, \ w_i = r \psi_i \sin \theta, \ u_i = 0, \tag{4}$$

где $\psi_i = \psi_i(\theta)$; A_i – неизвестные функции и постоянные, а индексы i=1,2,3 соответствуют зонам упрочнения, текучести и упругости соответственно.

Используя условия непрерывности перемещения на граничных поверхностях $\theta = \nu$ и $\theta = \gamma$, получаем

$$A_1 = A$$
, $\psi_1(v) = \psi_2(v)$, $\psi_2(\gamma) = \psi_3(\gamma)$.

Отличные от нуля деформации будут

$$\varepsilon_{\varphi i} = -\varepsilon_{\theta i} = \frac{A\cos\theta}{\sin^2\theta}, \ 2\gamma_{\theta\varphi i} = \psi_i'\sin\theta.$$
 (5)

Компоненты напряжения на (3) и (5) представляются в следующем виде:

$$\sigma_{\theta i} = \sigma_{\theta i} + 4 f A \frac{\cos \theta}{\sin^2 \theta}, \quad \sigma_{ni} = \sigma_{\theta i} + 2 f A \frac{\cos \theta}{\sin^2 \theta},$$

$$\tau_{\theta \phi i} = f \psi' \sin \theta.$$
(6)

Система дифференциальных уравнений равновесия сводится к следующим уравнениям:

$$\frac{\partial \sigma_{\theta i}}{\partial \theta} + (\sigma_{\theta i} - \sigma_{\varphi i}) ctg\theta = 0,$$

$$\frac{\partial \tau_{\theta \varphi i}}{\partial \theta} + 2\tau_{\theta \varphi i} ctg\theta = 0.$$
(7)

1. Решение в зоне упрочнения ($\alpha \le \theta \le \nu$). Используя первое уравнение равновесия (7), зависимости (6) для нормальных напряжений, полагая в них f = H, а также применяя граничное условие при $\theta = \alpha$ согласно (1), получаем

$$\sigma_{\theta 1} = \sigma_{\theta 1} + 4HA \frac{\cos \theta}{\sin^2 \theta}, \quad \sigma_{r1} = \sigma_{\theta 1} + 2HA \frac{\cos \theta}{\sin^2 \theta},$$

$$\sigma_{\theta 1} = -P_1 + 2HA \left(\frac{\cos \alpha}{\sin^2 \alpha} - \frac{\cos \theta}{\sin^2 \theta} - \ln \frac{tg \frac{\theta}{2}}{tg \frac{\alpha}{2}} \right), \quad \alpha \le \theta \le \nu.$$
(8)

Из второго уравнения (7) путем интегрирования и использования условия τ_{α} согласно (1) будем иметь

$$\tau_{\theta p 1} = q_1 \frac{\sin^2 \alpha}{\sin^2 \theta} = \tau, \quad \alpha \le \theta \le \nu. \tag{9}$$

Сопоставляя полученное выражение $\tau_{\theta \varphi 1}$ с соответствующей формулой в (6) при f = H, интегрированием находим

$$\psi_1 = \psi_1(\nu) + \frac{1}{H} \int_{\theta}^{\nu} \frac{\tau}{\sin \theta} d\theta,$$

где $\psi_1(v)$ — неизвестная постоянная. Интегрированием получаем

$$\psi_{1} = \psi_{1}(\nu) - \frac{q_{1}\sin^{2}\alpha}{2H} \left(\frac{\cos\nu}{\sin^{2}\nu} - \frac{\cos\theta}{\sin^{2}\theta} + \ln\frac{\lg\frac{\theta}{2}}{\lg\frac{\nu}{2}} \right). \tag{10}$$

Таким образом, полученное решение (8), (9), (4), (10) содержит неизвестные постоянные $A, \nu, C = \psi_1(\nu)$.

2. Решение в зоне текучести ($v \le \theta \le \gamma$). В этой зоне имеем условие Губера-Мизеса

$$(\sigma_{\varphi 2} - \sigma_{\theta 2})^2 + 4\tau_{\theta \varphi 2}^2 = 4k^2, \tag{11}$$

где $k = \sigma_s / \sqrt{3}$. Отсюда

$$\sigma_{\varphi 2} - \sigma_{\theta 2} = 2\sqrt{k^2 - \tau_{\theta \varphi 2}^2}$$
 (12)

Из второго уравнения (7) путем интегрирования и использования условия непрерывности τ_{∞} при $\theta=\nu$ будем иметь

$$\tau_{\varphi\theta 2} = \tau(\theta), \quad \nu \leq \theta \leq \gamma.$$
(13)

Интегрируя далее, из первого уравнения (7) с учетом (12) и (13) получим

$$\sigma_{\theta 2} = \sigma_{\theta 2}(v) + 2 \int_{v}^{\theta} \sqrt{k^2 - \tau^2} \operatorname{ctg} \theta \, d\theta.$$

Используя условие непрерывности $\sigma_{\theta 1}(v) = \sigma_{\theta 2}(v)$, получим

$$\sigma_{\theta 2} = -p_1 + 2HAB(\nu) + kN(\theta, \nu), \tag{14}$$

где

$$B(\nu) = \frac{\cos \alpha}{\sin^2 \alpha} - \frac{\cos \nu}{\sin^2 \nu} - \ln \frac{\operatorname{tg} \frac{\nu}{2}}{\operatorname{tg} \frac{\alpha}{2}},$$

$$N(\theta, \nu) = 2\ln\frac{\sin\theta}{\sin\alpha} + \ln\frac{1 + \sqrt{1 - q^2} \frac{\sin^4\alpha}{\sin^4\theta}}{1 + \sqrt{1 - q^2} \frac{\sin^4\alpha}{\sin^4\nu}} - \sqrt{1 - q^2} \frac{\sin^4\alpha}{\sin^4\theta} + \sqrt{1 - q^2} \frac{\sin^4\alpha}{\sin^4\nu}, \quad q = q_1/k.$$

На поверхности $\theta = \nu$ имеет место условие Губера-Мизеса

$$\left(\sigma_{\varphi 1}-\sigma_{\theta 1}\right)^2+4\, au_{\theta \varphi 1}^2=4\,k^2$$
, при $\theta=\nu$

Или же

$$4A^{2}h^{2}\frac{\cos^{4}v}{\sin^{4}v}+q^{2}\frac{\sin^{4}\alpha}{\sin^{4}v}=1,$$
(15)

причем h = H/k. Из зависимостей (12) и (6) для $\tau_{\theta_{\varpi}2}$ находим

$$\psi_2 = \psi_2(v) + 2A \int_{v}^{\theta} \frac{\tau}{\sqrt{k^2 - \tau^2}} \frac{\cos \theta}{\sin^3 \theta} d\theta.$$

3. Решение в упругой зоне ($\gamma \le \theta \le \beta$). В упругой области принимаем в (6) f = G; будем иметь

$$\sigma_{\varphi 3} = \sigma_{\theta 3} + 4AG \frac{\cos \theta}{\sin^2 \theta}, \quad \sigma_{r3} = \sigma_{\theta 3} + 2AG \frac{\cos \theta}{\sin^2 \theta},$$

$$\tau_{\theta \varphi 3} = q_2 \frac{\sin^2 \beta}{\sin^2 \theta} = \tau, \quad q_2 \sin^2 \beta = q_1 \sin^2 \alpha, \quad \gamma \le \theta \le \beta.$$
(16)

Здесь использованы граничные условия для au_{ω_3} на поверхностях heta=eta и $heta=\gamma$. Интегрируя первое уравнение (7) с использованием выражения $\sigma_{\omega_3}-\sigma_{\theta_3}$ из (16), находим

$$\sigma_{\theta 3} = -p_2 + 2AG \left(\frac{\cos \beta}{\sin^2 \beta} - \frac{\cos \theta}{\sin^2 \theta} - \ln \frac{\operatorname{tg} \frac{\theta}{2}}{\operatorname{tg} \frac{\beta}{2}} \right), \quad \gamma \le \theta \le \beta.$$
 (17)

Здесь учтено граничное условие на поверхности $\theta = \beta$. Далее используя условие непрерывности напряжений $\sigma_{\theta 3}(\gamma) = \sigma_{\theta 2}(\gamma)$, получаем

$$p = 2A[hB(\nu) + gD(\gamma)] + N(\gamma, \nu), \tag{18}$$

где

$$D(\gamma) = \frac{\cos \gamma}{\sin^2 \gamma} - \frac{\cos \beta}{\sin^2 \beta} - \ln \frac{\operatorname{tg} \frac{\beta}{2}}{\operatorname{tg} \frac{\gamma}{2}},$$

$$p = (p_1 - p_2)/k, \ h = H/k, \ g = G/k.$$

Из (18) определяем

$$A = \frac{1}{2} \cdot \frac{P - N(\gamma, \nu)}{hB(\nu) + gD(\gamma)}.$$
 (19)

На граничной поверхности между упругой и пластической зонами имеем условие пластичности Губера-Мизеса

$$\left(\sigma_{\theta^3} - \sigma_{\theta^3}\right)^2 + 4\tau_{\theta^3}^2 = 4k^2$$
, при $\theta = y$

Отсюда согласно (16), (19) находим

$$\frac{(P-N)^{2} \mu^{2} \cos^{2} \gamma}{(B+\mu D)^{2} \sin^{2} \gamma} + q^{2} \frac{\sin^{4} \alpha}{\sin^{4} \gamma} = 1,$$
(20)

где $\mu = G/H$; $q = q_1/k$. Далее, из (15) и (19) получаем

$$\frac{(P-N)^2}{(B+\mu D)^2} \frac{\cos^2 v}{\sin^4 v} + q^2 \frac{\sin^4 \alpha}{\sin^4 v} = 1$$
 (21)

Система уравнений (20)-(21) определяет неизвестные постоянные ν и γ в зависимости от p и q. В частности, когда q=0, из (20)-(21) находим

$$\cos \gamma = \sqrt{1 + \frac{\mu^2}{4} \cdot \frac{\sin^4 \nu}{\cos^2 \nu} - \frac{\mu}{2} \cdot \frac{\sin^2 \nu}{\cos \nu}}$$

$$p = 2 \ln \frac{\sin \gamma}{\sin \nu} + \frac{\sin^2 \gamma}{\mu \cos \gamma} [B(\nu) + \mu D(\gamma)].$$

Задавая значения ν , находим значения γ , а затем и p.

4. Второе предельное давление. Пусть на внутренней конической поверхности материал переходит в стадию временного сопротивления. Принимаем, что интенсивность напряжения на этой поверхности достигает критического значения, т.е.

$$\sigma_0(\alpha)/k = \sigma_{\bullet}$$
.

Принимая в (19)-(21) $\nu=\nu$. и $\gamma=\gamma$., из условия Губера-Мизеса имеем

$$4h^2A^2\frac{\cos^2\alpha}{\sin^4\alpha}+q^2=\sigma^2,$$

откуда согласно (19) находим второе предельное давление p = p.,

$$p_{*} = N_{*} + (B_{*} + \mu D_{*}) \frac{\sin^{2} \alpha}{\cos \alpha} \sqrt{\sigma_{*}^{2} - q_{*}^{2}}.$$
 (22)

Здесь N_{\bullet} , B_{\bullet} , D_{\bullet} — значения этих параметров при $\nu = \nu_{\bullet}$ и $\gamma = \gamma_{\bullet}$

Система уравнений (20)-(21) в этом предельном состоянии примет следующий вид:

$$(\sigma_{\bullet}^{2} - q_{\bullet}^{2}) \frac{\sin^{4} \alpha \cos^{2} \nu_{\bullet}}{\cos^{2} \alpha \sin^{4} \nu_{\bullet}} + q_{\bullet}^{2} \frac{\sin^{4} \alpha}{\sin^{4} \nu_{\bullet}} = 1,$$

$$\mu^{2}(\sigma_{\bullet}^{2}-q_{\bullet}^{2})\frac{\sin^{4}\alpha\cos^{2}\gamma_{\bullet}}{\cos^{2}\alpha\sin^{4}\gamma_{\bullet}}+q_{\bullet}^{2}\frac{\sin^{4}\alpha}{\sin^{4}\gamma_{\bullet}}=1.$$

В частности, когда q=0, находим

$$\frac{\sin^2 \gamma_{\bullet}}{\cos \gamma_{\bullet}} = \mu \sigma_{\bullet} \frac{\sin^2 \alpha}{\cos \alpha}, \quad \frac{\sin^2 \nu_{\bullet}}{\cos \nu_{\bullet}} = \sigma_{\bullet} \frac{\sin^2 \alpha}{\cos \alpha}.$$

Отсюда получаем

$$v_{\bullet} = \arccos\left(\sqrt{1 + \frac{\sigma_{\bullet}^{2} \sin^{4} \alpha}{4 \cos^{2} \alpha}} - \frac{\sigma_{\bullet} \sin^{2} \alpha}{2 \cos \alpha}\right),$$

$$\gamma_{\bullet} = \arccos\left(\sqrt{1 + \mu^{2} \frac{\sigma_{\bullet}^{2} \sin^{4} \alpha}{4 \cos^{2} \alpha}} - \mu \frac{\sigma_{\bullet} \sin^{2} \alpha}{2 \cos \alpha}\right).$$

Значение второго предельного давления будет

$$p_{\bullet} = 2 \ln \frac{\sin \gamma_{\bullet}}{\sin \nu_{\bullet}} + \sigma_{\bullet} (B_{\bullet} + \mu D_{\bullet}) \frac{\sin^2 \alpha}{\cos \alpha}$$

где

$$B_{\bullet} = \frac{\cos \alpha}{\sin^2 \alpha} - \frac{1}{\sigma_{\bullet}} \cdot \frac{\cos \alpha}{\sin^2 \alpha} - \ln \frac{\operatorname{tg} \frac{\nu}{2}}{\operatorname{tg} \frac{\alpha}{2}},$$

$$D_{\cdot} = \frac{1}{\mu \sigma_{\cdot}} \cdot \frac{\cos \alpha}{\sin^2 \alpha} - \frac{\cos \beta}{\sin^2 \beta} - \ln \frac{\operatorname{tg} \frac{\beta}{2}}{\operatorname{tg} \frac{\gamma_{\cdot}}{2}}$$

Предельное давление зависит от σ . и $\mu = G/H$.

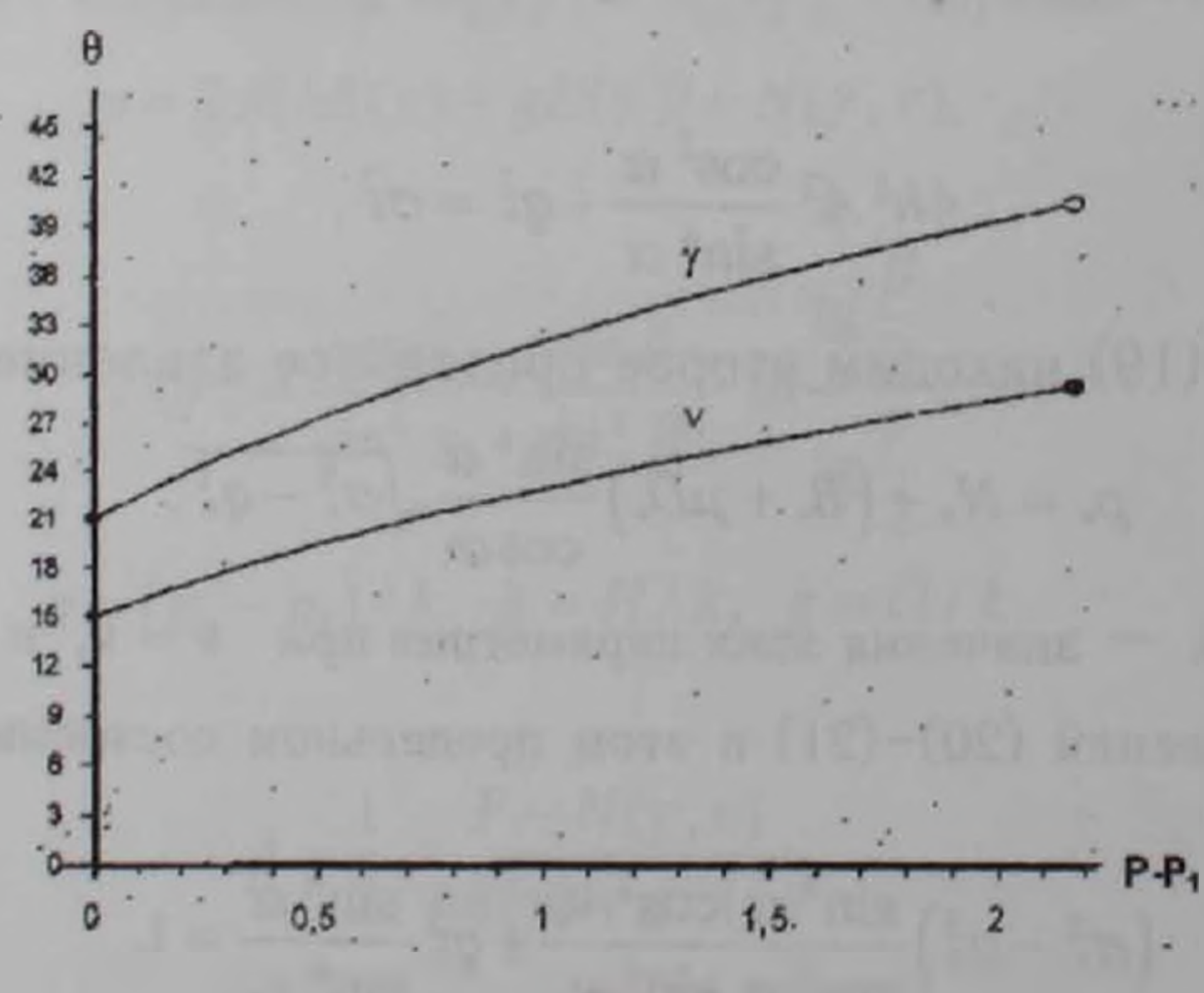


Рис.3.

Для значений параметров

 $\alpha=15^{\circ}$, $\beta=45^{\circ}$, $\mu=2$, $\sigma_{\bullet}=4$ на рис.3 построены кривые γ и ν в зависимости от роста давления p. Когда с внутренней поверхности трубы начинается распространение зоны упрочнения, $p_{\parallel}=1,35$, а в предельном состоянии, когда исчерпывается несущая способность трубы, $p_{\bullet}=3,5$. Соответственно $\nu_{\bullet}=29,44^{\circ}$ и $\gamma_{\bullet}=40,5^{\circ}$.

Институт механики НАН Армении

Ա. Ա. ՀԱՐՈՒԹՅՈՒՆՅՄՆ, Հայաստանի ԳԱԱ ակադեմիկոս Մ. Ա. ՁԱԴՈՅՄՆ Պլաստիկության գոտիները կոնական խողովակում

Շատ մետաղական նյութերում ձգման դիագրամաներում հոսունության միջակայքին հաջորդում են ամրապնդման գոտիները, որտեղ նյութերը հանդես են բերում պլաստիկական դեֆորմացիաներին դիմադրելու ամրության զգալի պաշարներ։ Ուսումնասիրվում է կոնական հաստապատ խողովակի լարվածային վիճակը նորմալ և շոշափող ուժերի ազդեցության տակ, երբ նյութն օժտված է հետհոսունության գծային ամրապնդումով։ Ընդունվում է, որ կոնական խողովակում առաջանում են ամրապնդման, հոսունության և առաձգական գոտիներ, որոնք տարածվում են արտաքին ուժերի ածման հետ միասին։ Որոշվում է երկրորդ սահմանային ձնշումը, որի դեպքում խողովակի ներքին մակերևույթում առաջանում են ժամանականականում են ժամանականականին դիմադրությանը համապատասիսան լարումներ։

ЛИТЕРАТУРА - ФРЦЧИТЛЬЮЗПЬТ

¹ В.В.Клюшников, в сб. Статическая и динамическая прочность элементов машиностроительных конструкций, М., ВЗМИ, 1986. ² М.А.Задоян, Изв. НАН Армении. Механика, т.50, №3-4(1997). ³ Д.Д.Ивлев, Теория идеальной пластичности, М., Наука, 1966. ⁴ М.А.Задоян, Пространственные задачи теории пластичности, М., Наука, 1992.

a of the same of t